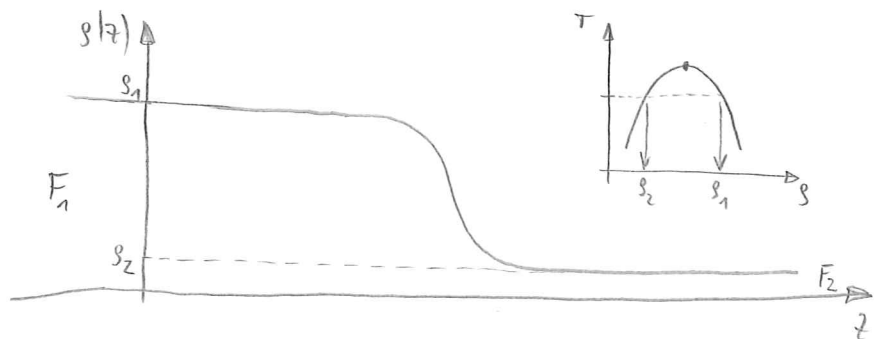


7. Inhomogene Flüssigkeiten

7.1 Grenzflächen zwischen Fluiden

§1. Gesucht ist die Struktur, d.h. das Einfüllendichte-Profil $g(\vec{r})$, einer Grenzfläche zwischen zwei koexistierenden Fluiden F_1 und F_2 . Ohne externes Potential wird die Grenzfläche eben sein, d.h. $g(\vec{r})$ hängt nur von der Koordinaten z in Normalenrichtung ab:

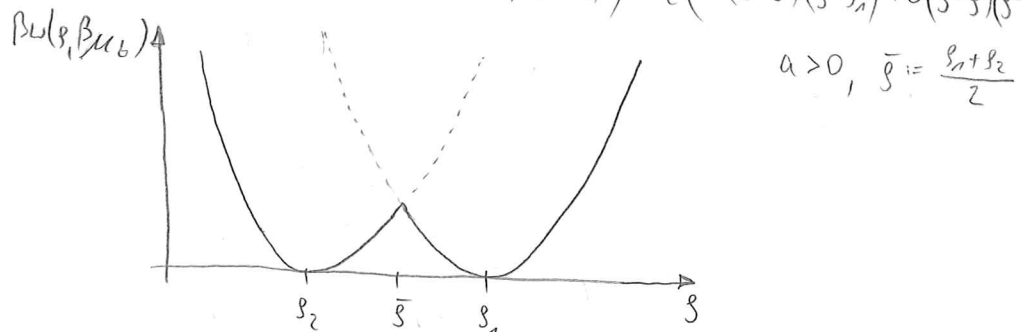


§2. Beispiel: Cahn-Hilliard-Näherung (SGA mit $\beta f_2^{\text{ex}} = \text{const}$, s. Gl. (4.1.13))

$$\beta\mathcal{N}[g] = A \int dz \left(\beta w(g|z), \beta u + \frac{b}{2} g'(z)^2 \right), \quad b > 0 \quad (1)$$

- Beispielsweise liefert die Doppelparabel-Näherung Gl. (5.1.18) für $\beta w_b := 0$, $\alpha_g = \alpha_f =: \alpha$, $\beta u = \beta u_b$ (2)

$$\beta w(g, \beta u_b) = \frac{\alpha}{2} \min \left((g - g_1)^2, (g - g_2)^2 \right) = \frac{\alpha}{2} \left(\Theta(g - \bar{g})(g - g_1)^2 + \Theta(\bar{g} - g)(g - g_2)^2 \right)$$



$$\begin{aligned} \delta \beta\mathcal{N}[g] &= A \int dz \left(\delta g|z| \beta w'(g|z), \beta u_{\text{ex}} + b g'|z| \underbrace{\delta g'|z|}_{= (\delta g|z)'} \right) \\ &= b \left((g'|z| \delta g|z)|' - g''|z| \delta g|z| \right) \end{aligned}$$

$$\begin{aligned}
 \delta \beta \mathcal{R}[g] &= A \left(\int_0^t \delta g(\tau) (\beta w'(g(\tau), \beta \mu_b) - b g''(\tau)) + b g'(\tau) \delta g(\tau) \right|_{\tau=\infty}^\infty \\
 &\stackrel{g(t=\infty)=0}{=} A \int_0^t \delta g(\tau) (\beta w'(g(\tau), \beta \mu_b) - b g''(\tau)) \\
 &\stackrel{!}{=} 0
 \end{aligned} \tag{3}$$

$$\Rightarrow \text{ELG} \quad \beta w'(g(\tau), \beta \mu_b) - b g''(\tau) \stackrel{!}{=} 0 \tag{4}$$

$$\begin{aligned}
 \Leftrightarrow g''(\tau) &= \frac{1}{b} \beta w'(g(\tau), \beta \mu_b) \\
 &= \begin{cases} \frac{\alpha}{b} (g(\tau) - g_1) & , \tau < \bar{\tau} \\ \frac{\alpha}{b} (g(\tau) - g_2) & , \tau > \bar{\tau} \end{cases}
 \end{aligned} \tag{5}$$

mit $\bar{\tau} \in \mathbb{R}$ definiert durch $g(\bar{\tau}) = \bar{g}$

* Die Lösung der Gl. (5) mit den Randbedingungen

$$g(-\infty) \stackrel{!}{=} g_1, \quad g(+\infty) \stackrel{!}{=} g_2 \tag{6}$$

lautet

$$\begin{aligned}
 g(\tau) &= \begin{cases} g_1 + (\bar{g} - g_1) \exp\left(\sqrt{\frac{\alpha}{b}}(\tau - \bar{\tau})\right) & , \tau < \bar{\tau} \\ g_2 + (\bar{g} - g_2) \exp\left(-\sqrt{\frac{\alpha}{b}}(\tau - \bar{\tau})\right) & , \tau > \bar{\tau} \end{cases} \\
 &= \begin{cases} g_1 - \frac{g_1 - g_2}{2} \exp\left(\sqrt{\frac{\alpha}{b}}(\tau - \bar{\tau})\right) & , \tau < \bar{\tau} \\ g_2 + \frac{g_1 - g_2}{2} \exp\left(-\sqrt{\frac{\alpha}{b}}(\tau - \bar{\tau})\right) & , \tau > \bar{\tau} \end{cases}
 \end{aligned} \tag{7}$$

Vergleich von Gl. (1) mit Gl. (4.1.19) zeigt

$$\beta w(g, \beta \mu) = g (\ln(g \lambda^d) - 1 - \beta \mu) + \beta f_0^{ex}(g) \tag{8}$$

$$\frac{b}{2} = \beta f_0^{ex}(g) \tag{9}$$

Aus Gl. (8) folgt mit Gl. (2)

$$\frac{1}{g} + \beta f_0^{ex''}(g) = \beta w'(g, \beta \mu_b) = \alpha \tag{10}$$

Nach Gl. (4.1.26) ist die Korrelationslänge

$$\zeta = \sqrt{\frac{2\beta f_i^{\alpha}(g)}{\frac{c}{g} + \beta f_0^{\alpha''}(g)}} = \sqrt{\frac{b}{a}} \quad (11)$$

und daher das Dichteprofil Gl. (7)

$$g(t \leq \bar{t}) = S_{12} \mp \frac{S_1 - S_2}{2} \exp\left(\pm \frac{t - \bar{t}}{\zeta}\right). \quad (12)$$

Demnach wird die Breite der Grenzfläche durch die Korrelationslänge ζ bestimmt.

Die Position der Grenzfläche, z.B. angezeichnet durch \bar{z} , ist nicht festgelegt; man spricht deshalb von einer freien Grenzfläche.

§3. Die Inhomogenität einer Grenzfläche führt zu einem Wert $\beta\Omega_0$ des größtmöglichen Potentials, der größer ist als der eines gleichgroßen homogenen Systems mit dem selben Druck, $-\beta p|V|$.

Die Differenz $\beta\Omega_0 - (-\beta p|V|)$ skaliert proportional zur Größe A der Grenzfläche.

Der Quotient

$$\beta\gamma := \frac{\beta\Omega_0 + \beta p|V|}{A} \quad (13)$$

definiert die Grenzflächenspannung γ .

§4. Für das Beispiel in §2 ist

$$\beta\gamma = \int d\tau \left(\beta w(g), \beta u_b \right) + \frac{b}{2} g'(t)^2 + \beta p. \quad (14)$$

Für das Gleichgewichtsprofil $g(z)$ gilt die ELG Gl. (14), die nach Multiplikation mit $g'(z)$ die Form

$$0 = g'(z) \left(\beta_w(g(z), \beta_{\mu_b}) - b g''(z) \right) \\ = \left(\beta_w(g(z), \beta_{\mu_b}) - \frac{b}{2} g'(z)^2 \right)' \quad (15)$$

annimmt.

Also folgt mit $\beta_w(g_1, \beta_{\mu_b}) = -\beta_p$ und $g'(-\infty) = 0$

$$\beta_w(g(z), \beta_{\mu_b}) - \frac{b}{2} g'(z)^2 = -\beta_p \quad (16)$$

$$\Leftrightarrow \beta_w(g(z), \beta_{\mu_b}) + \beta_p = \frac{b}{2} g'(z)^2 \quad (17)$$

und daher

$$\beta_y = b \int dz g'(z)^2 \\ = \stackrel{\text{Gl. (12)}}{=} b \left(\frac{g_1 - g_2}{2\tau} \right)^2 \int dz \exp\left(-2 \frac{|z-\bar{z}|}{\tau}\right) \\ = \frac{b}{4\tau} (g_1 - g_2)^2. \quad (18)$$

Die Grenzflächenspannung wird durch die Dichtedifferenz $g_1 - g_2$ in den beiden Kontaktfliessen Flüssen und durch die Korrelationslänge τ bestimmt.

§5. Bei Annäherung an den kritischen Punkt ($\tau := \frac{T-T_c}{T_c} \rightarrow 0^+$) gilt (siehe Abschnitt 5.3)

$$\tau \sim |t|^{-\bar{\nu}} \quad (19)$$

$$g_1 - g_2 \sim |t|^{\bar{\beta}} \quad (20)$$

$$S(t) = \frac{\tau^2}{g_1^b} \sim \kappa_t \sim |t|^{-\bar{\gamma}} \Rightarrow \frac{b}{\tau^2} \sim |t|^{\bar{\gamma}}. \quad (21)$$

woraus mit Gl. (18) folgt

$$\gamma \sim |t|^{2\bar{\beta} + \bar{\gamma} - \bar{\nu}} \quad (22)$$

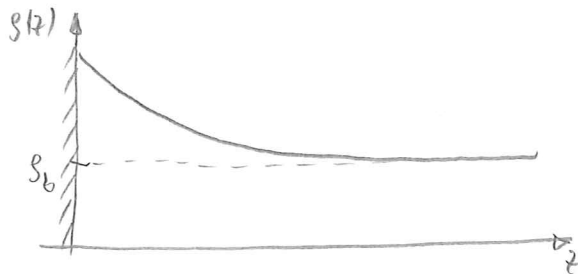
Für die mean-field-Exponenten $\bar{\beta} = \frac{1}{2}$, $\bar{\gamma} = 1$, $\bar{\nu} = \frac{1}{2}$
 führt das auf $\gamma \sim |\zeta|^{\frac{1}{2}}$, d.h. die Grenzflächenspannung
verschwindet am kritischen Punkt.

Gleichung (22) gilt in dieser Form auch jenseit der
 mean-field-Näherung.

7.2 Fluid-Wand-Grenzflächen

§1. Ein Fluid stehe im Kontakt mit einer Wand, die auf
 das Fluid ein externes Potential ausübt und es dadurch
 räumlich beschränkt.

Gesucht ist die Struktur des Fluids unter diesen
 Bedingungen.



§2. Beispiel: Cahn-Hilliard-Näherung Gl.(7.1.1) mit lokalem
Wandpotential $\beta V(z) = -h \delta(z)$:

$$\beta S[g] = A \left(\int_0^\infty dz (\beta w(g(z), \beta \mu) + \frac{a}{2} g'(z)^2) - h g(0) \right). \quad (1)$$

- Weit weg von Phasenübergängen sei

$$\beta w(g, \beta \mu) = \beta w(g_0, \beta \mu) + \frac{a}{2} (g - g_0)^2, \quad a > 0 \quad (2)$$

$$\begin{aligned} \bullet \quad \delta \beta S[g] &= A \left(\int_0^\infty dz (\delta g(z) \beta w'(g(z), \beta \mu) + b g'(z) \underbrace{\delta g'(z)}_{=(\delta g(z))'} - h \delta g(0)) \right) \\ &= b ((g'h) \delta g(z))' - g''h \delta g(z) \end{aligned}$$

$$\begin{aligned}\delta \beta \Pi[g] &= A \left(\int_0^\infty dz \delta g(z) (\beta w'(g(z), \beta_\mu) - b g''(z)) + b g'(z) \delta g(z) \right)_{z=0}^\infty - h \delta g(0) \\ g'(\infty) &= 0 \\ &= A \left(\int_0^\infty dz \delta g(z) (\beta w'(g(z), \beta_\mu) - b g''(z)) - (b g'(0) + h) \delta g(0) \right) \\ &\stackrel{!}{=} 0\end{aligned}\tag{3}$$

$$\Rightarrow \text{ELG} \quad \beta w'(g(z), \beta_\mu) - b g''(z) \stackrel{!}{=} 0, \quad b g'(0) + h \stackrel{!}{=} 0 \tag{4}$$

$$\Leftrightarrow g''(z) = \frac{1}{b} \beta w'(g(z), \beta_\mu) = \frac{a}{b} (g(z) - g_c) \\ g'(0) = -\frac{h}{b} \tag{5}$$

- Die Lösung von Gl. (5) mit $g(\infty) = 0$ lautet mit Gl. (7.1.m)

$$g(z) = g_c + \frac{h}{b} \exp\left(-\frac{z}{r}\right) \tag{6}$$

Asymptotisch wird die Bulkdichte g_c erreicht.

Die Abweichung $g(0) - g_c = \frac{h}{b}$ der Dichte an der Wand vom Wert im Bulk wird maßgeblich von der Stärke h des Wandpotentials bestimmt.

Der asymptotische Abfall findet auf der Skala der Korrelationslänge statt.

- §3. Experimente und realistischere Modelle als das in §2 zeigen z.B.
die Ausbildung von Schichten in Wandnähe:



Dies gilt allgemein für Teilchen auf, die sich auf kurzen Abständen abstoßen und nicht in die Wand eindringen können.

§4. Wie in §7.1.3 für die freie Grenzfläche beeinflusst die Inhomogenität des Dichteprofils $\rho(z)$ in Wandnähe den Wert des größtmöglichen Potentials β_{γ} .

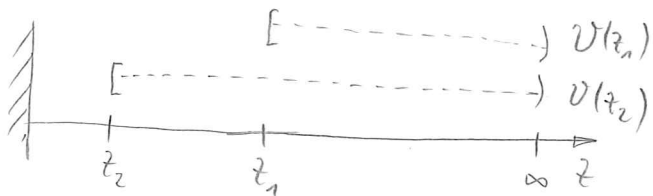
An Wänden steht allerdings eine Konkavität bei Vergleich mit einem „gleichgroßen“ homogenen System auf, da dieses willkürlich gewählt werden kann.

Die entsprechende Grenzflächenspannung $\gamma(z_0)$ hängt von der Wand der Berührungsfläche ab (vgl. Gl. (7.1.13))

$$\beta_{\gamma}(z_0) = \frac{\beta \rho_0 + \beta_p |\mathcal{V}(z_0)|}{A} \quad (7)$$

Während $\beta \rho_0$ und im Fall planarer Grenzflächen A nicht von z_0 abhängen unterscheiden sich die Volumina $|\mathcal{V}(z_1)|$ und $|\mathcal{V}(z_2)|$ des Fluids für zwei Berührungsflächen bei z_1 bzw. z_2 um

$$|\mathcal{V}(z_1)| - |\mathcal{V}(z_2)| = -A(z_1 - z_2)$$



Demnach unterscheiden sich die Grenzflächenspannungen $\beta_{\gamma}(z_1)$ und $\beta_{\gamma}(z_2)$ für die beiden Konkavitäten um

$$\beta_{\gamma}(z_1) - \beta_{\gamma}(z_2) = -\beta_p(z_1 - z_2) \quad (8)$$

§5. Gängige Grenzflächenkonventionen sind

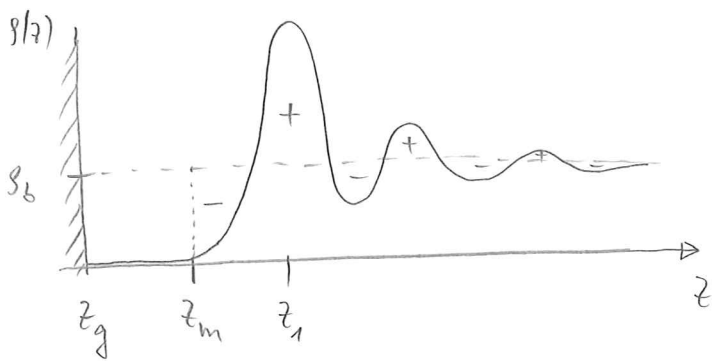
z_g : die geometrische Oberfläche des Wand

z_1 : das Zentrum des ersten Schicht

z_m : die äquimolare Grenzfläche (Gibbs dividing interface)

definiert durch

$$\int dz (\beta(z) - \beta_b \Theta(z - z_m)) = 0 \quad (9)$$



§6. Neben der Frage nach der Grenzflächenspannung interessiert im Zusammenhang mit Fluiden an Wänden die von der Wand absorbierte Fluidmenge.

Sie wird üblicherweise ausgedrückt durch die sogenannte Bedeckung (coverage), auch als Excessabsorption bezeichnet:

$$\Gamma(z_0) := \int dz (s(z) - s_b \Theta(z-z_0)). \quad (10)$$

Sie gibt den Überschuss an Teilchen pro Wandfläche an.

Wie die Grenzflächenspannung $\beta\gamma(z_0)$ ist auch die Bedeckung $\Gamma(z_0)$ abhängig von der Berührungsflächenposition z_0 .

Die äquivalente Grenzfläche z_m ($G_1(9)$) ist offenbar durch $\Gamma(z_m) = 0$ definiert.

§7. Es gilt der als „Gibbsche Adsorptionsisotherme“ bezeichnete Zusammenhang zwischen $\beta\gamma(z_0)$ und $\Gamma(z_0)$:

$$\frac{\partial \beta\gamma(z_0)}{\partial \mu} = - \Gamma(z_0) \quad (11)$$

$$\begin{aligned} \text{Beweis: } \frac{\partial \beta\gamma(z_0)}{\partial \mu} & \stackrel{G.17}{=} \frac{1}{A} \left(\frac{\partial \beta\gamma(\beta_\mu, [s_0(\beta_\mu)])}{\partial \mu} + \frac{\partial \beta\mu}{\partial \mu} \Gamma(z_0) \right) \\ & = \underbrace{\frac{\partial z}{\partial \mu} (-s_0(z))}_{G.110} + \underbrace{\frac{\partial \beta\gamma}{\partial s(z)} \Big|_{s_0}}_{=0} \frac{\partial s_0(z)}{\partial \mu} + \underbrace{\frac{\partial \beta\mu}{\partial \mu} \Theta(z-z_0)}_{=s_b} \\ & \stackrel{G.110}{=} -\Gamma(z_0) \end{aligned} \quad (12)$$

§8. Im Beispiel von §2 kann die ELG Gl.(4) nach Multiplikation mit $g'(z)$ als

$$\left(\beta_w(g(z), \beta_\mu) - \frac{b}{2} g'(z)^2 \right)' = 0 \quad (13)$$

$$\Rightarrow \beta_w(g(z), \beta_\mu) - \frac{b}{2} g'(z)^2 = \beta_w(g_b, \beta_\mu) \quad (14)$$

geschrieben werden.

Dann ist die Grenzflächenspannung bzgl. der geometrischen Wandoberfläche bei $z_g=0$

$$\begin{aligned} \beta_x(z_g) &= \int_0^\infty \left(\beta_w(g(z), \beta_\mu) + \frac{b}{2} g'(z)^2 - \beta_w(g_b, \beta_\mu) \right) - h g(z) dz \\ &= b \int_0^\infty g'(z)^2 - h g(z) dz \\ &\stackrel{Gl.(6)}{=} b \left(\frac{h\tau}{b} \right)^2 \underbrace{\int_0^\infty \exp\left(-\frac{z\tau}{\tau}\right) dz}_{=\frac{\tau}{2}} - h \left(g_b + \frac{h\tau}{b} \right) \\ &= -h \left(g_b + \frac{h\tau}{b} \right) \end{aligned} \quad (15)$$

- Mit $\beta_w(g(z), \beta_\mu) = \frac{a}{2}(g - g_{12})^2 - g \Delta \beta_\mu$ ist

$$0 = \frac{\partial \beta_w}{\partial g} \Big|_{g_b} = a(g_b - g_{12}) - \Delta \beta_\mu \quad (16)$$

$$\Rightarrow 0 = a \frac{\partial g_b}{\partial \beta_\mu} - 1 \quad (17)$$

$$\Rightarrow \frac{\partial g_b}{\partial \beta_\mu} = \frac{1}{a} \quad (18)$$

$$\Rightarrow \frac{\partial \beta_x(z_g)}{\partial \beta_\mu} = -h \frac{\partial g_b}{\partial \beta_\mu} = -\frac{h}{a} \stackrel{Gl.(7.1.m)}{=} -\frac{h\tau^2}{b} \quad (19)$$

- Die Bedeckung ist

$$\Gamma(z_g) = \int_0^\infty \left(g(z) - g_b \right) dz = \frac{h\tau}{b} \underbrace{\int_0^\infty \exp\left(-\frac{z\tau}{\tau}\right) dz}_{=\frac{\tau}{2}} = \frac{h\tau^2}{b} = -\frac{\partial \beta_x(z_g)}{\partial \beta_\mu} \quad (20)$$

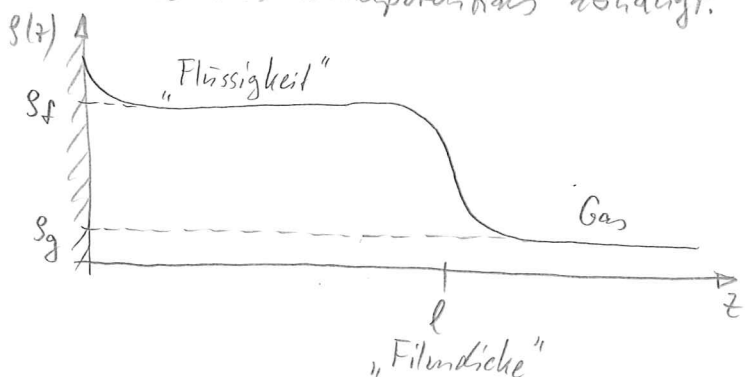
Gleichung (20) zeigt, dass $\Gamma(z_0) \rightarrow \infty$ für $\zeta \rightarrow \infty$, d.h. die Bedeckung divergiert bei Annäherung an einen kritischen Punkt.

Dieses Phänomen nennt man kritische Adsorption.

7.3 Benetzungssphänomene

§1. Betrachtet wird nun die Situation eines Gases mit Dichte s_g in Kontakt mit einer attraktiven Wand.

Bei genügend starker Anziehung der Wand bildet sich im untersättigten Gas nahe der Wandatmen ein Flüssigkeitsschicht endlicher Dicke. Untersucht werden soll, wie dieser Flüssigkeitsschicht vom thermodynamischen Zustand der Bulkphase (Gas) und von der Stärke des Wandpotentials abhängt.



§2. Beispiel: Cahn-Hilliard-Näherung mit lokalem Wandpotential Gl. (7.2.1)

$$\beta\Omega(s) = A \left(\int_0^\infty dz \left(\beta_w(s(z), \beta_\mu) + \frac{b}{2} s'(z)^2 \right) - h s(0) \right), b > 0, h \geq 0 \quad (1)$$

und Doppelparabel-Näherung Gl. (5.1.18)

$$\beta_w(s, \beta_\mu) = \frac{a}{2} \left(\Theta(s-\bar{s})(s-s_1)^2 + \Theta(\bar{s}-s)(s-s_2)^2 \right) - s \beta \Delta \mu \quad (2)$$

$$a > 0, s_1 > s_2, \bar{s} = \frac{s_1 + s_2}{2}, \beta \Delta \mu = \beta_\mu - \beta_{\mu_0} \leq 0$$

- Nach Gl. (7.2.4) lautet die ELG

$$\beta \omega'(s(z), \beta \mu) - b s''(z) = 0, \quad b s'(0) + h \stackrel{!}{=} 0 \quad (3)$$

$$\Leftrightarrow s''(z) = \frac{1}{b} \beta \omega'(s(z), \beta \mu) = \frac{a}{b} \begin{cases} s(z) - s_1 - \frac{\beta A_\mu}{a}, & s(z) > \bar{s} \\ s(z) - s_2 - \frac{\beta A_\mu}{a}, & s(z) < \bar{s} \end{cases} \quad (4)$$

$$s'(0) = -\frac{h}{b}$$

Mit den Dichten $s_g := s_2 + \frac{\beta A_\mu}{a}$ des Gases (Bulb) und $s_f := s_1 + \frac{\beta A_\mu}{a}$ der metastabilen Flüssigkeit (Film) und Gl. (7.1.11) lautet Gl. (4)

$$s''(z) = \frac{1}{b} \begin{cases} s(z) - s_f, & s(z) > \bar{s} \\ s(z) - s_g, & s(z) < \bar{s} \end{cases} \quad (5)$$

$$s'(0) = -\frac{h}{b}$$

- Falls $s_g + \frac{h\tau}{b} < \bar{s}$, d.h. $h < \frac{b}{\tau}(\bar{s} - s_g) := h^*$ ist nach Gl. (7.2.6) $s(z) < \bar{s}$ für alle z möglich, d.h. es gibt eine Lösung von Gl. (5) mit

$$s(z) = s_g + \frac{h\tau}{b} \exp\left(-\frac{z}{\tau}\right) \quad (6)$$

und es bildet sich kein Flüssigkeitsfilm



- Falls $h > h^*$ gibt es eine Stelle \bar{z} mit $s(\bar{z}) = \bar{s}$, sodass statt Gl. (5) das Problem

$$s''(z < \bar{z}) = \frac{1}{b} (s(z) - s_f), \quad s'(0) = -\frac{h}{b}, \quad s(\bar{z}) = \bar{s} \quad (7)$$

$$s''(z > \bar{z}) = \frac{1}{b} (s(z) - s_g), \quad s(\bar{z}) = \bar{s}, \quad s(\infty) = s_g$$

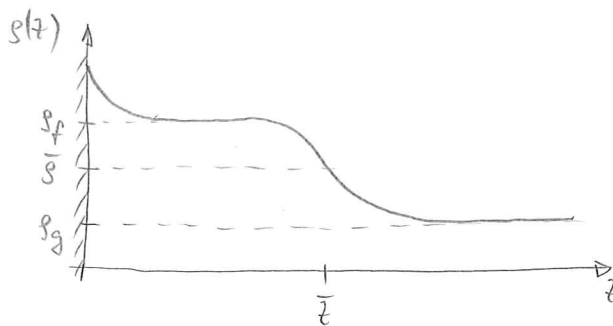
zu lösen ist.

Die Lösung von Gl.(7) lautet

$$g(z < \bar{z}) = g_f + \frac{1}{\cosh(\frac{\bar{z}}{T})} \left(\frac{b}{6} \sinh\left(\frac{\bar{z}-z}{T}\right) + (\bar{g} - g_f) \cosh\left(\frac{z}{T}\right) \right) \quad (8)$$

$$g(z > \bar{z}) = g_g + (\bar{g} - g_g) \exp\left(-\frac{z-\bar{z}}{T}\right),$$

was als Flüssigkeitsfilm der Dicke \bar{z} interpretiert werden kann



- Das Minimum des Oberflächenbeitrags zum großkanonischen Potential

$$\beta \mathcal{H}_S(\bar{z}) := \int_0^\infty dz \left(\beta \omega(g(z)) + \frac{b}{2} g'(z)^2 - \beta \omega(g_g) \right) - h g(0) \quad (9)$$

bestimmt die Filmdicke \bar{z}_0 im Gleichgewicht.

Mit

$$\beta \omega(g < \bar{g}) = \frac{a}{2} (g - g_2)^2 - g \beta \Delta \mu = \frac{a}{2} ((g - g_g)^2 + g_2^2 - g_g^2)$$

$$\beta \omega(g > \bar{g}) = \frac{a}{2} (g - g_1)^2 - g \beta \Delta \mu = \frac{a}{2} ((g - g_f)^2 + g_1^2 - g_f^2)$$

und Gl. (5) ist

$$\begin{aligned} \beta \mathcal{H}_S(\bar{z}) &= \int_0^{\bar{z}} dz \left(\frac{a}{2} (g(z) - g_f)^2 + \frac{b}{2} g'(z)^2 \right) + \bar{z} \frac{a}{2} \underbrace{(g_1^2 - g_f^2 - g_2^2 + g_g^2)}_{= -\frac{2}{a} (g_1 - g_2) \beta \Delta \mu} \\ &\quad + \int_{\bar{z}}^\infty dz \left(\frac{a}{2} (g(z) - g_g)^2 + \frac{b}{2} g'(z)^2 \right) - h g(0) \\ &= \frac{b}{2} \left(\int_0^{\bar{z}} dz \underbrace{(g''(z)(g(z) - g_f) + g'(z)^2)}_{= (g'(z)(g(z) - g_f))'} + \int_{\bar{z}}^\infty dz \underbrace{(g''(z)(g(z) - g_g) + g'(z)^2)}_{= (g'(z)(g(z) - g_g))'} \right) \\ &\quad - \bar{z} (g_1 - g_2) \beta \Delta \mu - h g(0) \\ &= \frac{b}{2} \left(g'(\bar{z})(\bar{g} - g_f) - g'(0)(g(0) - g_f) - g'(\bar{z}^+)(\bar{g} - g_g) \right) \\ &\quad - \bar{z} (g_1 - g_2) \beta \Delta \mu - h g(0) \end{aligned} \quad (10)$$

Aus Gl.(8) ergibt sich

$$s'(z < \bar{z}) = \frac{1}{\cosh(\frac{z}{\xi})} \left(-\frac{h}{6} \cosh\left(\frac{\bar{z}-z}{\xi}\right) + \frac{\bar{s}-s_f}{\xi} \sinh\left(\frac{z}{\xi}\right) \right) \quad (11)$$

$$s'(z > \bar{z}) = -\frac{\bar{s}-s_f}{\xi} \exp\left(-\frac{z-\bar{z}}{\xi}\right) \quad (12)$$

und daraus mit $\tanh(x) = 1 - \frac{\exp(-x)}{\exp(x)}$

$$\begin{aligned} & \frac{h}{2} \left(s'(\bar{z}^-)(\bar{s}-s_f) - s'(\bar{z}^+)(\bar{s}-s_g) \right) \\ &= \frac{h}{2} \left(\underbrace{\frac{(\bar{s}-s_f)^2}{\xi}}_{= -\frac{h}{6}} + \underbrace{\frac{(\bar{s}-s_g)^2}{\xi}}_{=} - \frac{\bar{s}-s_f}{\cosh(\frac{\bar{z}}{\xi})} \left(\frac{h}{6} + \frac{\bar{s}-s_f}{\xi} \exp(-\frac{\bar{z}}{\xi}) \right) \right) \\ &= \frac{1}{\xi} \left(\frac{(s_1-s_2)^2}{2} + 2 \left(\frac{\beta \Delta \mu_1}{\alpha} \right)^2 \right) \end{aligned} \quad (13)$$

und

$$\begin{aligned} -\frac{h}{2} \underbrace{s'(0)(s(0)-s_f)}_{=-\frac{h}{6}} - h s(0) &= -\frac{h}{2} (s(0)+s_f) \\ &= -h \left(s_f + \frac{h \xi}{25} \right) - \frac{h}{2 \cosh(\frac{\bar{z}}{\xi})} \left(\bar{s}-s_f - \frac{h \xi}{6} \exp(-\frac{\bar{z}}{\xi}) \right). \end{aligned} \quad (14)$$

Mit der Grenzflächenspannung zwischen Koexistenter Flüssigkeit und Gas (siehe Gl. (7.1.18))

$$\beta \gamma_{fg} := \frac{h}{4\xi} (s_1-s_2)^2 \quad (15)$$

sowie zwischen Wand und der instabilen Flüssigkeit, bezogen auf die geometrische Wandoberfläche, (siehe Gl. (7.2.15))

$$\beta \gamma_{wf} := -h \left(s_f + \frac{h \xi}{25} \right) \quad (16)$$

ist schließlich

$$\beta \gamma_s(\bar{z}) = \beta \gamma_{wf} + \beta \gamma_{fg} + \frac{\xi^3}{6} (\beta \Delta \mu_1)^2 - \bar{z} (s_1-s_2) \beta \Delta \mu + \beta \omega^*(\bar{z}) \quad (17)$$

mit dem effektiven Grenzflächenpotential

$$\beta \omega^*(\bar{z}) := \frac{1}{2 \cosh(\frac{\bar{z}}{\xi})} \left(2h(s_f - \bar{s}) + \left(\frac{h^2 \xi}{6} - \frac{h}{\xi} (s_f - \bar{s})^2 \right) \exp(-\frac{\bar{z}}{\xi}) \right) \quad (18)$$

- Der Oberflächenbeitrag Gl. (17) und (18) ist von der Form

$$\beta \mathcal{R}_S(\bar{x}) = A + Bx + \frac{C + D \cosh(-x)}{\cosh(x)} \quad (17)$$

mit

$$x := \frac{\bar{x}}{l} \quad (18)$$

$$A := -l_1(g_f + \frac{l_1}{l_2}) + \frac{l_1}{4l_2}(g_n - g_s)^2 + \frac{l_1^3}{6}(\beta \Delta u)^2 \quad (19)$$

$$B := -l_1(g_n - g_s)\beta \Delta u \geq 0 \quad (20)$$

$$C := l_1(g_f - \bar{g}) > 0 \quad (21)$$

$$D := \frac{1}{2} \left(\frac{l_1^2 l}{6} - \frac{l_1}{l_2} (g_f - \bar{g})^2 \right) \quad (22)$$

- Die Ableitung

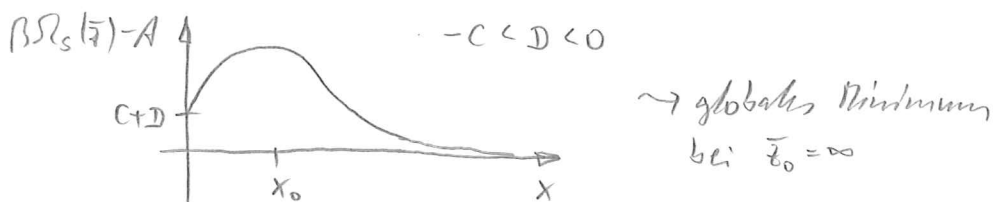
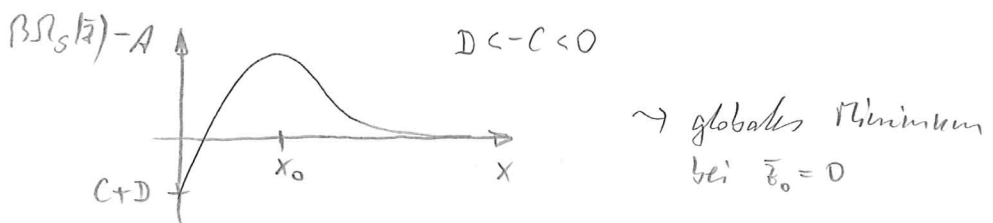
$$\begin{aligned} \frac{\partial}{\partial x} \beta \mathcal{R}_S(\bar{x}) &= B + \frac{-D \cosh(-x) \cosh(x) - (C + D \cosh(-x)) \sinh(x)}{\cosh(x)^2} \\ &= B - \frac{C \sinh(x) + D}{\cosh(x)^2} \\ &\geq 0 \end{aligned} \quad (23)$$

$$\Leftrightarrow B(A + \sinh(x)^2) - C \sinh(x) - D \geq 0 \quad (24)$$

zeigt, dass für $B=0$, d.h. $\beta \Delta u = 0$ (Konsistenz), entweder ein lokales Maximum von $\beta \mathcal{R}_S(\bar{x})$ bei

$$x_0 = \text{arsinh}\left(-\frac{D}{C}\right), \text{ falls } D < 0, \quad (25)$$

vestiegt, oder $\beta \mathcal{R}_S(\bar{x})$ monoton fällt ist, falls $D \geq 0$:



• Ein Vergleich mit der Grenzflächenspannung

$$\beta \gamma_{\text{vug}} = -h \left(s_g + \frac{h^2}{2b} \right) \quad (28)$$

für $h < h^*$ vom Gl. (6) (siehe Gl. (7.2.15)) zeigt für $\beta A_1 = 0$, d.h. $\beta = 0$,

$$\begin{aligned} \beta \gamma_s(0) - \beta \gamma_{\text{vug}} &= -h \left(\underbrace{s_f}_{=s_1} + \frac{h^2}{2b} \right) + \frac{b}{4\pi} (s_1 - s_2)^2 + h \left(\underbrace{s_g}_{=s_2} + \frac{h^2}{2b} \right) \\ &= -h(s_1 - s_2) + \frac{b}{4\pi} (s_1 - s_2)^2 \\ &= -(s_1 - s_2) \left(h - \frac{b}{4\pi} (s_1 - s_2) \right) \\ &= -(s_1 - s_2) \left(h - \frac{h^*}{2} \right) \leq 0 \quad \text{für } h \geq \frac{h^*}{2} \end{aligned} \quad (29)$$

und

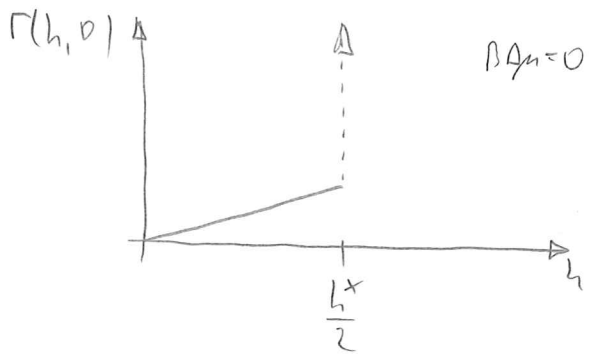
$$\begin{aligned} \beta \gamma_s(0) - \beta \gamma_{\text{vug}} &= -h \left(\cancel{s_X} + \frac{h^2}{2b} \right) + \frac{b}{4\pi} (s_1 - s_2)^2 + h \left(\cancel{s_X} - \bar{s} \right) \\ &\quad + \frac{b}{2} \left(\frac{h^2}{b} - \frac{b}{4\pi} (\underbrace{s_f - \bar{s}}_{=\frac{h_1 - h_2}{2}})^2 \right) + h \left(\underbrace{s_g}_{=s_2} + \cancel{\frac{h^2}{2b}} \right) \\ &= \frac{b}{2} \left(\frac{h^2}{b} + \frac{b}{4\pi} (s_1 - s_2)^2 - h(s_1 - s_2) \right) \\ &= \frac{b}{2} \left(h - 2h \frac{b}{4\pi} (s_1 - s_2) + \left(\frac{b}{4\pi} (s_1 - s_2) \right)^2 \right) \\ &= \frac{b}{2} (h - h^*)^2 > 0 \end{aligned} \quad (30)$$

sodass das Gleichgewichtsprofil $s_0(z)$ für $h > \frac{h^*}{2}$ durch Gl. (8) mit $\bar{s} = \infty$, d.h. mit einem makroskopisch dicken Film, und für $h < \frac{h^*}{2}$ durch Gl. (6) gegeben ist.

Daher ist die Bedeckung $\Gamma(h, \beta A_1)$ mit Gl. (7.2.20) für $\beta A_1 = 0$ durch

$$\Gamma(h, 0) = \begin{cases} \infty & , h > \frac{h^*}{2} \\ \frac{b}{2} & , h < \frac{h^*}{2} \end{cases} \quad (31)$$

gegeben:



Man nennt die Wand für $h > \frac{l^*}{2}$ vollständig benetzt und für $h < \frac{l^*}{2}$ teilbenetzt.

Der Übergang bei $h = \frac{l^*}{2}$ zwischen einem einer teilbenetzten und einer vollständig benetzten Wand nennt man einen Berechnungsübergang.

Da $\Gamma(h, 0)$ bei $h = \frac{l^*}{2}$ einen endlichen linksseitigen Grenzwert $\Gamma(h \rightarrow \frac{l^*}{2}, 0)$ besitzt und dann einen unendlichen Sprung zeigt spricht man von einem Berechnungsübergang ersten Ordnung.

Divergierte dagegen $\Gamma(h \rightarrow \frac{l^*}{2}, 0)$, so läge ein sogenannter kontinuierlicher Berechnungsübergang vor.

Berechnungsübergänge sind Oberflächenphasenübergänge.

- Mit Hilfe der Gl. (179) – (176) findet man mit ähnlichen Überlegungen im Fall $\beta\Delta\mu < 0$, d.h. $\beta > 0$, im Bereich $h > \frac{b}{4\beta}(g_1 - g_2) =: \frac{l^*}{2}$ die Gleichgewichtsfilmdicke

$$\bar{z}_0 \stackrel{\beta\Delta\mu \rightarrow 0^-}{\sim} T \ln \left(\frac{h}{T|\beta\Delta\mu|} \right) \nearrow \infty \quad (32)$$

und die Bedeckung

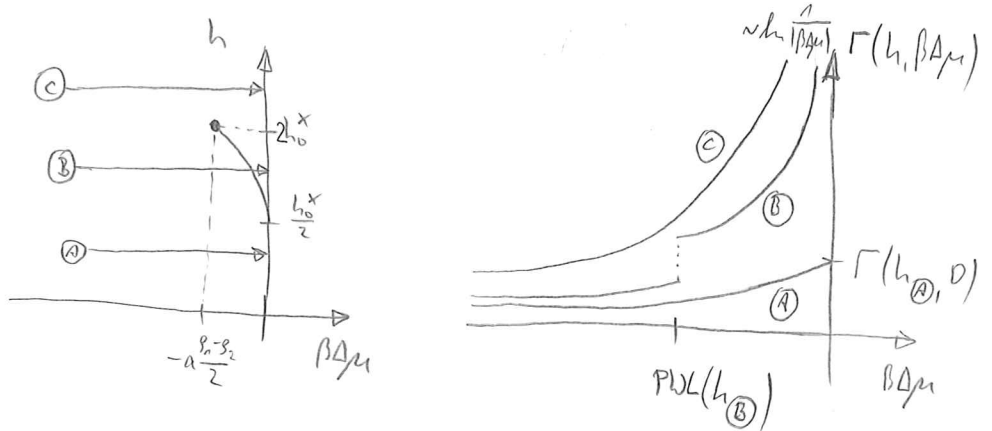
$$\Gamma\left(h > \frac{l^*}{2}, \beta\Delta\mu \rightarrow 0^- \right) \simeq (g_1 - g_2) \bar{z}_0, \quad (33)$$

während $\Gamma\left(h < \frac{l^*}{2}, \beta\Delta\mu \rightarrow 0^- \right)$ gegen den nulllichen Wert $\Gamma(h, 0)$ konvergiert.

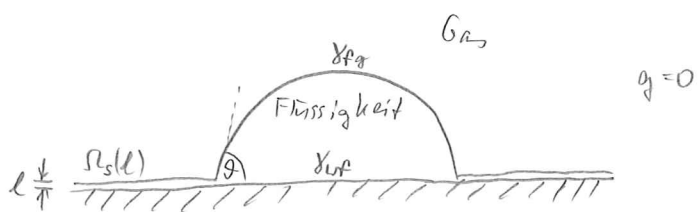
Zudem findet man im Bereich $h \in (\frac{h_0}{2}, 2h_0)$ einen Wert

$\beta\Delta\mu = \text{PWL}(h)$ an dem $\Gamma(h, \beta\Delta\mu)$ als Funktion von $\beta\Delta\mu$ einen Sprung zeigt; dies entspricht einem sogenannten Precutting-Übergang von einem dünnen zu dickem nicht-makroskopischen Flüssigkeitsschicht.

Der Precutting-Übergang ist ein Oberflächenphasenübergang, erstes Ordnetz und die Makrozustände im Phasendiagramm, bei denen der Precutting-Übergang stattfindet, d.h. für die $\beta\Delta\mu = \text{PWL}(h)$ gilt, bilden die Precutting-Linie, die in einem kritischen Punkt bei $\beta\Delta\mu_{\text{pw},c} = -a \frac{\gamma_1 - \gamma_2}{2}$, $h_{\text{pw},c} = \frac{b}{3}(\gamma_1 - \gamma_2) = 2h_0$ mündet.



§3. Nun soll die Situation eines Flüssigkeitstropfens auf einem Substrat betrachtet werden:



Nach der Youngschen Gleichung ist der Kontaktwinkel θ mit den Grenzflächenspannungen γ_{fg} zwischen Flüssigkeit und Gas und γ_{fv} zwischen Wand und Flüssigkeit sowie dem Oberflächenanteil zum graviatorischen Potential $\Omega_S(l)$ bei Gleichgewichtsfilmdicke l verknüpft:

$$\Omega_s(l) = \gamma_{Wf} + \gamma_{Fg} \cos \vartheta. \quad (34)$$

Nach Definition (siehe Gl. (7.3.17)) zerfällt $\Omega_s(l)$ in die Grenzflächenspannungen γ_{Wf} und γ_{Fg} sowie das effektive Grenzflächenpotential $w^*(l)$:

$$\Omega_s(l) = \gamma_{Wf} + \gamma_{Fg} + w^*(l) \quad (35)$$

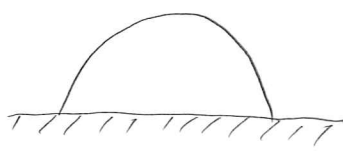
Daraus ergibt sich

$$\cos \vartheta = 1 + \frac{w^*(l)}{\gamma_{Fg}}, \quad (36)$$

d.h. der Kontaktwinkel ϑ ergibt sich aus der Tiefe des effektiven Grenzflächenpotentials $w^*(l)$ bei der Gleichgewichtstiefe l , d.h. aus dem globalen Minimum von $w^*(l)$.

Ist l endlich, d.h. liegt Teilberührung vor, so muss $w^*(l) < 0$ sein, was zu $\cos \vartheta < 1$, d.h. $\vartheta > 0$ führt.

Ist dagegen $l=\infty$, d.h. liegt vollständige Berührung vor, so ist $w^*(l)=0$ und somit $\cos \vartheta = 1$, d.h. $\vartheta=0$.



$J > 0$
Teilberührung



$J = 0$
vollständige Berührung